

УДК 532.526

УСТОЙЧИВОСТЬ И ВОСПРИИМЧИВОСТЬ ТЕЧЕНИЯ В ПОГРАНИЧНОМ СЛОЕ НА СТРЕЛОВИДНОМ КРЫЛЕ, УПРАВЛЯЕМОГО ПЕРИОДИЧЕСКОЙ ПОСЛЕДОВАТЕЛЬНОСТЬЮ ПЛАЗМЕННЫХ АКТУАТОРОВ

© 2021 г. С. В. Мануйлович^а

^а Центральный аэрогидродинамический институт им. проф. Н.Е. Жуковского, Жуковский, Московская обл., Россия

*E-mail: sergei.manuilovich@gmail.com

Поступила в редакцию 29.12.2020 г.

После доработки 26.03.2021 г.

Принята к публикации 20.04.2021 г.

Смоделирован процесс управления течением в пограничном слое на скользящем крыле с помощью периодической по размаху последовательности плазменных актуаторов, установленных под углом к передней кромке. Исследован стабилизирующий эффект воздействия в зависимости от угла наклона актуаторов. Расчет колебательной компоненты управляемого течения произведен в линейном приближении по малому параметру – обратному числу Рейнольдса. Обнаружена возможность резонансного отклика течения на колебательную составляющую воздействия при направлениях актуаторов, близких к направлению линии тока внешнего течения.

Ключевые слова: пограничный слой, поперечное течение, объемная сила, управление устойчивостью

DOI: 10.31857/S056852812105008X

Значительная часть парка современной авиации имеет стреловидное крыло. Сдвигая в область больших скоростей кризис сопротивления, обусловленный возникновением в течении скачков уплотнения, стреловидность приводит к существенному увеличению сопротивления трения, связанному с формированием в пограничном слое поперечного течения – ненулевого профиля скорости по нормали к внешней линии тока. Такое течение проявляет неустойчивость типа неустойчивости затопленной струи. При углах стреловидности крыла, характерных для большей части современных летательных аппаратов, следствие этой неустойчивости – турбулентный характер течения в пограничном слое на всей поверхности крыла.

Таким образом, неустойчивость поперечного течения – основная причина ламинарно-турбулентного перехода в пограничном слое на стреловидных крыльях современных пассажирских самолетов. Неустойчивость поперечного течения тем выше, чем выше его амплитуда. Подавление неустойчивости этого типа позволило бы уменьшить сопротивление трения и существенно сократить расход топлива. В этой связи снижение интенсивности поперечного течения является важной практической задачей.

Поясним механизм формирования поперечного течения на стреловидном крыле большого удлинения. Вблизи носка крыла течение подвергается интенсивному разгону в направлении, перпендикулярном передней кромке. В то же время течение испытывает эффект скольжения вдоль размаха крыла. Профиль скорости течения в направлении разгона имеет большую кривизну, чем профиль в направлении размаха, что и является причиной формирования поперечного течения. Уменьшение кривизны первого профиля, также как увеличение кривизны второго, приводит к уменьшению интенсивности поперечного течения. Классический способ ослабления поперечного течения – отсос газа через поверхность крыла [1] – увеличивает кривизну профиля скорости в направлении скольжения.

Для управления полем скорости в пространственном пограничном слое могут также использоваться технологии плазменного разряда [2]. Объемная сила, создаваемая плазменными актуаторами в пристеночной области, инициирует приращение скорости потока в направлении, пер-

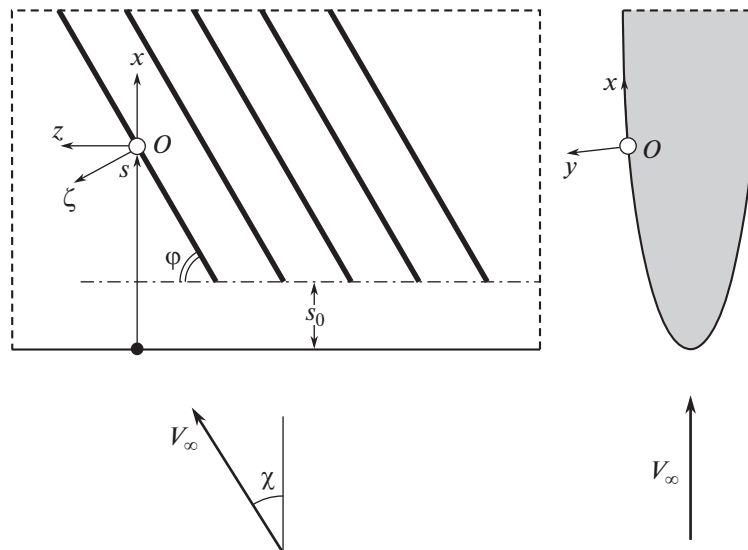


Рис. 1. Система координат и схема системы управления.

пендикулярном электродам актуатора. Система актуаторов с электродами, перпендикулярными передней кромке крыла, ускоряет пристеночное течение вдоль размаха, уменьшая интенсивность поперечного течения [3]. Объемная сила в направлении градиента давления [4, 5] тормозит разгон, что также ослабляет поперечное течение.

На первый взгляд представляется уместным расположить электроды вдоль линии тока внешнего течения, чтобы управляющая сила была направлена строго против поперечного течения. В идеализированном случае пристеночной силы, однородной вдоль размаха, такое распределение действительно является оптимальным [4, 6]. В практической ситуации для обеспечения управляющего воздействия вдоль всего размаха крыла необходимо использовать ряд исполнительных элементов, но при этом воздействие не будет однородным. Цель данной работы – исследование процесса управления течением в пространственном пограничном слое при помощи распределений объемной силы, моделирующих действие периодической по размаху последовательности плазменных актуаторов. Для упрощения изложения будем считать управляемое течение низкоскоростным, а силовое воздействие – нетермальным [2], пренебрегая сопутствующим тепловыделением.

1. ПОСТАНОВКА ЗАДАЧИ УПРАВЛЕНИЯ

Рассмотрим задачу управления течением в ламинарном пограничном слое на крыле бесконечного размаха цилиндрической формы, обтекаемом равномерным потоком газа под углом скольжения χ с небольшой дозвуковой скоростью V_∞° , плотностью ρ° и вязкостью μ° (кружками помечаем размерные величины). Введем криволинейную систему координат с началом в некоторой точке O обтекаемой поверхности на разгонном участке течения. Расстояние от передней кромки крыла до точки O , отсчитываемое вдоль стенки, обозначим s° . Ось x° направим вдоль поверхности перпендикулярно передней кромке в направлении разгона, ось y° – по нормали к стенке, а ось z° – вдоль образующей крыла в направлении скольжения (рис. 1). Соответствующие компоненты вектора скорости обозначим $u^\circ, v^\circ, w^\circ$, давление – p° . Значения параметров течения на внешней границе пограничного слоя будем помечать индексом e .

Будем предполагать, что система управления состоит из ряда исполнительных элементов, расставленных с постоянным шагом вдоль размаха крыла. Электроды актуаторов всюду составляют постоянный угол φ с образующей (рис. 1). Составляющие объемной силы вдоль обтекаемой поверхности и по нормали к ней обозначим, соответственно, f° и g° .

В дальнейшем будем использовать два масштаба длины – радиус кривизны профиля крыла на линии растекания r° и характерную толщину пограничного слоя

$$\delta^\circ = \sqrt{\frac{\mu^\circ r^\circ}{\rho^\circ V_\infty^\circ}}$$

Введем безразмерные переменные с помощью равенств

$$\{x^\circ, y^\circ, z^\circ\} = \delta^\circ \{x, y, z\}, \quad s^\circ = r^\circ s, \quad \{u^\circ, v^\circ, w^\circ\} = V_\infty^\circ \{u, v, w\}$$

$$p^\circ = \rho^\circ V_\infty^{\circ 2} p, \quad \{f^\circ, g^\circ\} = \frac{\rho^\circ V_\infty^{\circ 2}}{\mu^\circ} \{f, g\}$$

В сделанных предположениях параметры течения удовлетворяют системе уравнений Навье–Стокса для несжимаемой жидкости

$$\begin{aligned} \frac{\partial u}{\partial x} + \frac{\partial v}{\partial y} + \frac{\partial w}{\partial z} &= 0 \\ u \frac{\partial u}{\partial x} + v \frac{\partial u}{\partial y} + w \frac{\partial u}{\partial z} + \frac{\partial p}{\partial x} &= \frac{1}{R} \left(\frac{\partial^2 u}{\partial x^2} + \frac{\partial^2 u}{\partial y^2} + \frac{\partial^2 u}{\partial z^2} - f \cos \phi \right) \\ u \frac{\partial v}{\partial x} + v \frac{\partial v}{\partial y} + w \frac{\partial v}{\partial z} + \frac{\partial p}{\partial y} &= \frac{1}{R} \left(\frac{\partial^2 v}{\partial x^2} + \frac{\partial^2 v}{\partial y^2} + \frac{\partial^2 v}{\partial z^2} + g \right) \\ u \frac{\partial w}{\partial x} + v \frac{\partial w}{\partial y} + w \frac{\partial w}{\partial z} + \frac{\partial p}{\partial z} &= \frac{1}{R} \left(\frac{\partial^2 w}{\partial x^2} + \frac{\partial^2 w}{\partial y^2} + \frac{\partial^2 w}{\partial z^2} + f \sin \phi \right) \end{aligned} \quad (1.1)$$

Здесь $R = \rho^\circ V_\infty^\circ \delta^\circ / \mu^\circ \gg 1$ – число Рейнольдса. В системе (1.1) опущены члены, связанные с кривизной поверхности крыла: в рассматриваемых задачах управления ими можно пренебречь [7].

Параметры течения удовлетворяют условиям прилипания на стенке и условиям срачивания с внешним течением

$$\begin{aligned} u(x, 0, z) = v(x, 0, z) = w(x, 0, z) &= 0 \\ u(x, \infty, z) = u_e(x), \quad w(x, \infty, z) = w_e &= \sin \chi \\ \frac{\partial p}{\partial x}(x, \infty, z) &= -u_e \frac{du_e}{dx} \end{aligned} \quad (1.2)$$

Процесс управления поперечным течением в пограничном слое будем иллюстрировать на примере скользящего крыла эллиптического сечения, обтекаемого под нулевым углом атаки. В этом случае скорость внешнего течения по нормали к образующей крыла $u_e(s)$ задается параметрической зависимостью

$$u_e = \frac{(1 + \varepsilon) \sin \phi \cos \chi}{\sqrt{\sin^2 \phi + \varepsilon^2 \cos^2 \phi}}, \quad s = \frac{1}{\varepsilon^2} \int_0^\phi \sqrt{\sin^2 \xi + \varepsilon^2 \cos^2 \xi} d\xi$$

где ε – отношение толщины профиля крыла к длине его хорды.

Опишем используемую здесь математическую модель силового воздействия. Как и в экспериментах [5, 8], исполнительные элементы имеют вытянутую конфигурацию, поэтому создаваемая ими объемная сила перпендикулярна электродам актуаторов, т.е. ее направление лежит в плоскости $y, \zeta = z \sin \phi - x \cos \phi$ (см. рис. 1).

Зададим компоненты объемной силы в виде

$$\begin{aligned} f &= c f_s F(\zeta) \exp\left(-\frac{y^2}{b^2}\right), \quad g = c f_s \frac{dF}{d\zeta} \frac{b\sqrt{\pi}}{2} \operatorname{erfc}\left(\frac{y}{b}\right) \\ F &= \sum_{m=-\infty}^{+\infty} \exp\left[-\frac{(\zeta - \Pi m)^2}{a^2}\right], \quad f_s = \frac{1}{2} \left[1 + \operatorname{th}\left(R \frac{s - s_0}{l}\right) \right] \end{aligned} \quad (1.3)$$

где $\operatorname{erfc}(\eta)$ – интеграл вероятностей [9]. За исключением небольшой окрестности переднего края системы актуаторов ($s = s_0$) равенства (1.3) описывают класс соленоидальных распределений объемных сил

$$\frac{\partial f}{\partial \zeta} + \frac{\partial g}{\partial y} = 0$$

что является следствием закона сохранения заряда и хорошо согласуется с результатами экспериментов [10, 11]. Воздействие быстро затухает при $y \rightarrow \infty$. Распределения (1.3) представляют собой единичные области силового воздействия гауссовой формы, размещенные с периодом $\Pi/\sin \varphi$ вдоль размаха крыла.

Для управления поперечным течением необходимо, чтобы приложенная объемная сила была локализована внутри пограничного слоя $b = O(1)$. Область силового воздействия, создаваемого плазменным актуатором, имеет сравнимые продольный и поперечный размеры [10], т.е. $a = O(1)$. Такое же ограничение накладывается и на среднюю интенсивность воздействия: $c/\Pi = O(1)$. Множитель $f_s(s)$ моделирует продольное распределение силового поля на передней границе области воздействия; в силу этого также $l = O(1)$.

2. ТЕЧЕНИЕ В ОТСУТСТВИЕ СИЛОВОГО ВОЗДЕЙСТВИЯ

Для иллюстрации эффекта управления исследуем характеристики поперечного течения на скользящем крыле эллиптического сечения в отсутствие силового воздействия. Введем параметры классического пограничного слоя с помощью равенств

$$q = Q(s, y), \quad q = u, v, w, p \quad (2.1)$$

Функции $Q = U, V/R, W, P$ удовлетворяют уравнениям Прандтля [1]. Введем обозначения для местной формы профиля скорости поперечного течения

$$V_{cf} = \frac{u_e w_e}{\sqrt{u_e^2 + w_e^2}} \left(\frac{U}{u_e} - \frac{W}{w_e} \right) \quad (2.2)$$

а также для локального V_m и глобального V_{max} максимумов его интенсивности

$$V_m(s) = \max_y V_{cf}, \quad V_{max} = \max_s V_m$$

Выберем конфигурацию управляемого течения для сравнения различных режимов воздействия. С этой целью изучим зависимость интенсивности поперечного течения от относительной толщины крыла и угла скольжения.

В пределе $\varepsilon \rightarrow 0$ управляемое течение в выбранных масштабах соответствует симметричному обтеканию параболы. В этом случае $V_{max} = 0.0727$ при $\chi = 30^\circ$. При таком же угле скольжения для обтекания кругового цилиндра ($\varepsilon = 1$) имеем $V_{max} = 0.104$. На промежутке $0 < \varepsilon < 1$ зависимость $V_{max}(\varepsilon)$ близка к линейной; максимум интенсивности поперечного течения достигается в диапазоне $0.7 < s < 0.85$, т.е. на расстоянии порядка одного радиуса кривизны носка от линии присоединения.

В предельных случаях $\chi = 0^\circ, 90^\circ$ на крыльях цилиндрической формы поперечное течение отсутствует. На промежутке $0^\circ < \chi < 90^\circ$ график функции $V_{max}(\chi)$ имеет форму параболы с вершиной, немного смещенной влево. При $\varepsilon = 0.2$ эта функция с относительной точностью 0.2% аппроксимируется трехчленным степенным разложением

$$V_{max} = \chi(90 - \chi)(0.463 \times 10^{-4} - 0.2 \times 10^{-7} \chi - 0.17 \times 10^{-8} \chi^2)$$

Максимальное значение интенсивности поперечного течения $V_{max} = 0.0855$ имеет место при $\chi = 41^\circ$.

В данной работе все дальнейшие результаты приведены для случая $\varepsilon = 0.2, \chi = 30^\circ$. На рис. 2 показано соответствующее распределение $V_m(s)$ (кривая 1). На передней кромке крыла поперечное течение отсутствует $V_m(0) = 0$, далее его интенсивность быстро растет по закону, близкому к линейному. Максимум достигается при $s = 0.774, V_{max} = 0.0793$, затем поперечное течение медленно затухает.

На рис. 3а показаны профили скорости поперечного течения в сечениях $s = 0.3, 0.5, 1, 1.5, 2$, расположенных вблизи места его наибольшей интенсивности. С ростом s наблюдается увеличе-

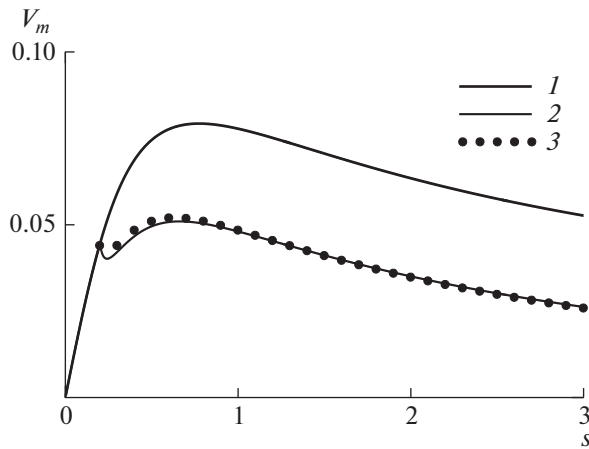


Рис. 2. Распределение местной интенсивности поперечного течения в отсутствие управляющего воздействия (1), при силовом воздействии для углов наклона актуаторов $\varphi = 60^\circ, 75^\circ$ (2, 3).

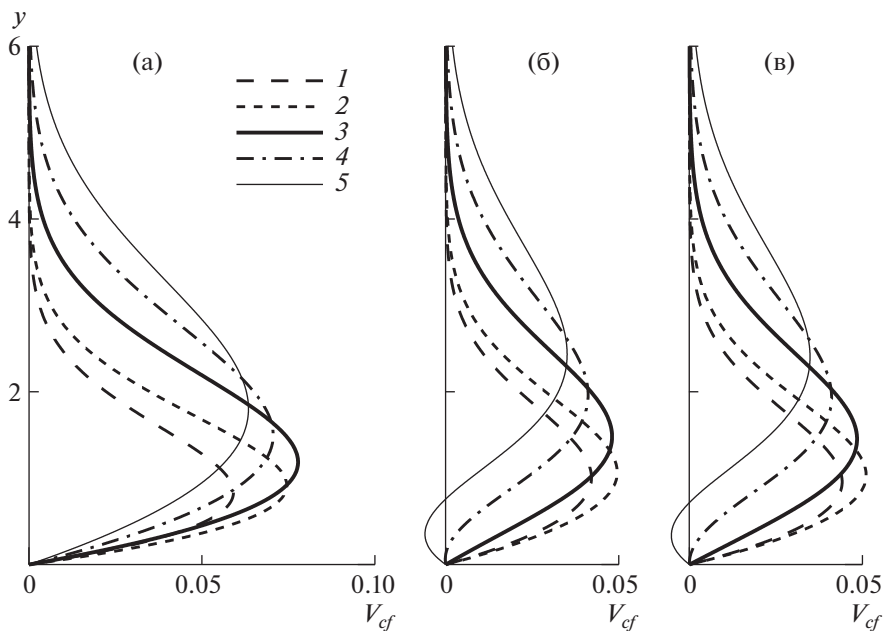


Рис. 3. Профили скорости поперечного течения при отсутствии управления (а) и при силовом воздействии с углами наклона актуаторов $\varphi = 60^\circ, 75^\circ$ (б, в) в сечениях $s = 0.3, 0.5, 1, 1.5, 2$ (1–5).

ние высоты положения максимума скорости. Это связано с возрастанием толщины пограничного слоя при удалении от передней кромки крыла.

3. ТЕЧЕНИЕ, УПРАВЛЯЕМОЕ ОСРЕДНЕННОЙ ПО РАЗМАХУ СИЛОЙ

Исследуем сначала течение в пограничном слое, формируемое полем осредненной по z силы (1.3)

$$f_0(s, y) = \frac{ac\sqrt{\pi}}{\Pi} f_s \exp\left(-\frac{y^2}{b^2}\right), \quad g_0 \equiv 0 \quad (3.1)$$

Такое течение однородно по z , его параметры снова ищем в виде (2.1). Подставляя (2.1), (3.1) в задачу (1.1)–(1.2), получим

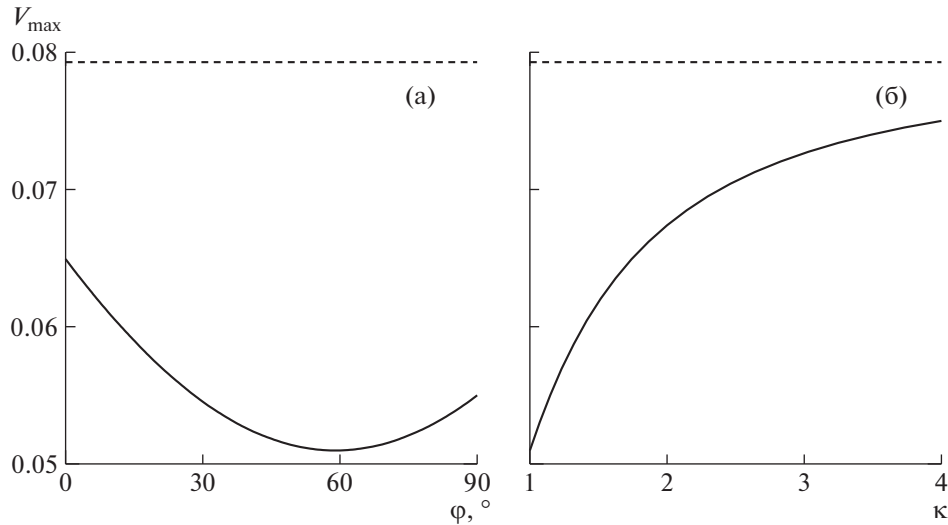


Рис. 4. Зависимость абсолютного максимума скорости поперечного течения от угла наклона актуаторов (а) и от коэффициента увеличения скорости (б).

$$\begin{aligned}
 \frac{\partial U}{\partial s} + \frac{\partial V}{\partial y} &= 0 \\
 U \frac{\partial U}{\partial s} + V \frac{\partial U}{\partial y} &= u_e \frac{du_e}{ds} + \frac{\partial^2 U}{\partial y^2} - f_0 \cos \varphi \\
 U \frac{\partial W}{\partial s} + V \frac{\partial W}{\partial y} &= \frac{\partial^2 W}{\partial y^2} + f_0 \sin \varphi \\
 U(s, 0) = V(s, 0) = W(s, 0) &= 0, \quad U(s, \infty) = u_e(s), \quad W(s, \infty) = w_e
 \end{aligned} \tag{3.2}$$

Задача (3.2) отличается от классической задачи Прандтля наличием источниковых членов в уравнениях импульса, ее решение рассчитывалось методом, аналогичным [1].

Зафиксируем параметры системы управления (1.3) $a = 1$, $b = 1$, $c = 0.5$, $\Pi = 6$, и изучим зависимость эффективности силового воздействия от угла наклона актуаторов. Выбор параметра $s_0 = 0.2$, задающего положение переднего фронта системы управления, будет обоснован в разд. 4. Во всех расчетах параметр сглаживания $l = 1$.

На рис. 4а показана зависимость абсолютного максимума скорости поперечного течения V_{\max} от угла наклона исполнительных элементов φ . Штриховой линией отмечен уровень интенсивности поперечного течения в отсутствие управляющего воздействия. Наибольшая степень подавления поперечного течения достигается при $\varphi = 59^\circ$.

Задача о полном устранении поперечного течения с помощью однородной вдоль размаха объемной силы рассматривалась в [4, 6]. Там было показано, что в оптимальном случае объемная сила должна быть всюду строго перпендикулярна местной внешней линии тока. В рассматриваемом здесь модельном случае “электроды” исполнительных элементов наклонены к образующей крыла под постоянным углом. Как показали проведенные расчеты, для обеспечения максимального подавления поперечного течения они должны быть наклонены под углом $\varphi \approx 58^\circ - 60^\circ$. В отсутствие управляющего воздействия внешняя линия тока составляет с образующей угол $\psi = 51^\circ$ в сечении с наиболее интенсивным поперечным течением. Таким образом, в рассматриваемой модели направление оптимального силового воздействия ориентировано почти перпендикулярно скорости внешнего течения над областью максимальных скоростей поперечного течения.

Продольное распределение интенсивности поперечного течения при $\varphi = 60^\circ$ приведено на рис. 2 (линия 2). Рассматриваемое силовое воздействие замедляет поперечное течение в 1.5–2 раза. Профили скорости управляемого поперечного течения в сечениях около места его наибольшей интенсивности показаны на рис. 3б.

Зафиксируем теперь параметры системы управления ($a = 1$, $b = 1$, $c = 0.5$, $\Pi = 6$, $\varphi = 60^\circ$) и изучим изменение ее эффективности при увеличении скорости обтекания. Пусть новая скорость обтекания связана с прежним равенством

$$V_\infty^{\circ'} = \kappa V_\infty^\circ$$

где $\kappa > 1$ – коэффициент увеличения скорости. В этом случае новая характерная толщина пограничного слоя имеет вид $\delta^{\circ'} = \delta^\circ / \sqrt{\kappa}$, а новые безразмерные параметры системы управления связаны со старыми соотношениями

$$a' = \sqrt{\kappa}a, \quad b' = \sqrt{\kappa}b, \quad c' = c/\kappa^2, \quad \Pi' = \sqrt{\kappa}\Pi \quad (3.3)$$

Результаты расчета задачи (3.1)–(3.2) при новых безразмерных параметрах (3.3) приведены на рис. 4б. При возрастании скорости обтекания величина максимальной скорости поперечного течения, отнесенная к скорости набегающего потока, асимптотически стремится к ее значению в отсутствие силового воздействия. Этот эффект связан главным образом с заметным уменьшением безразмерной интенсивности силового воздействия. Отметим, что при этом наряду с относительной скоростью поперечного течения возрастает и число Рейнольдса $R' = \sqrt{\kappa}R$, что способствует дополнительной дестабилизации течения.

Отметим также, что при прочих равных условиях при изменении интенсивности воздействия в диапазоне $0 < c < 0.5$ величина V_{\max} меняется практически по линейному закону.

4. УСТОЙЧИВОСТЬ ОСРЕДНЕННОГО ТЕЧЕНИЯ

Сравним характеристики устойчивости течений, рассчитанных в разд. 2, 3. Для этого необходимо оценить величины характерных чисел R . Для условий, соответствующих эксперименту в низкоскоростной аэродинамической трубе, скорость набегающего потока V_∞° изменяется в пределах 10–80 м/с, кинематическая вязкость воздуха $\mu^\circ/\rho^\circ = 1.4 \times 10^{-5}$ м²/с. Радиус кривизны передней кромки модели примем равным $r^\circ = 0.1$ м. При таких условиях число Рейнольдса лежит в диапазоне $270 < R < 760$. В связи с этим все дальнейшие расчеты выполнены при $R = 500$.

Основной вид возмущений, приводящих к ламинарно-турбулентному переходу в пограничном слое на стреловидном крыле – стационарные вихри неустойчивости, генерируемые на неровностях обтекаемой поверхности [12, 13]. Для расчета характеристик неустойчивости поперечного течения представим параметры течения в виде

$$q = Q(s, y) + h[q^*(y; s) \exp(i\alpha x + i\gamma z) + \text{c.с.}] \quad (4.1)$$

Подставим (4.1) в задачу (1.1)–(1.2) и произведем линеаризацию по параметру $h \ll 1$. Следуя [1], в полученной системе уравнений будем пренебрегать членами, содержащими V , $\partial U/\partial x$, $\partial W/\partial x$ (плоскопараллельное приближение). Эта система может быть сведена к уравнению Орра–Зоммерфельда для функции v^* . Налагая на его решение однородные граничные условия при $y = 0, \infty$, получим задачу на собственные значения для определения комплексного волнового числа α . Решение этой задачи строилось с помощью вычисления линейно независимых решений уравнения с использованием процедуры ортонормализации [14].

На рис. 5 представлены результаты расчета инкрементов нарастания

$$\sigma = -\text{Im} \alpha(s, \gamma)$$

стационарных вихрей неустойчивости поперечного течения. Линиями 1 отмечены кривые нейтральной устойчивости ($\sigma = 0$), линии 2 – линии уровня инкрементов нарастания, нанесенные с интервалом 0.001.

На рис. 5а проиллюстрирован случай отсутствия управляющего воздействия. Впервые течение теряет устойчивость в сечении $s_c = 0.215$ по отношению к возмущению с поперечным волновым числом $\gamma_c = 0.244$. Именно по этой причине передняя граница системы управления s_0 выбрана равной 0.2 (см. разд. 3). Максимальная скорость роста вихрей неустойчивости $\sigma_{\max} = 0.0106$ наблюдается в сечении $s = 0.51$ при $\gamma = 0.38$.

Снова зафиксируем параметры системы управления ($a = 1$, $b = 1$, $c = 0.5$, $\Pi = 6$) и исследуем ее эффективность для различных углов наклона актуаторов. На рис. 5б показаны результаты расчета характеристик устойчивости управляемого течения при $\varphi = 30^\circ$. Передняя граница области неустойчивости почти не сдвигается, а при $s > 2.7$ течение вновь становится устойчивым по от-

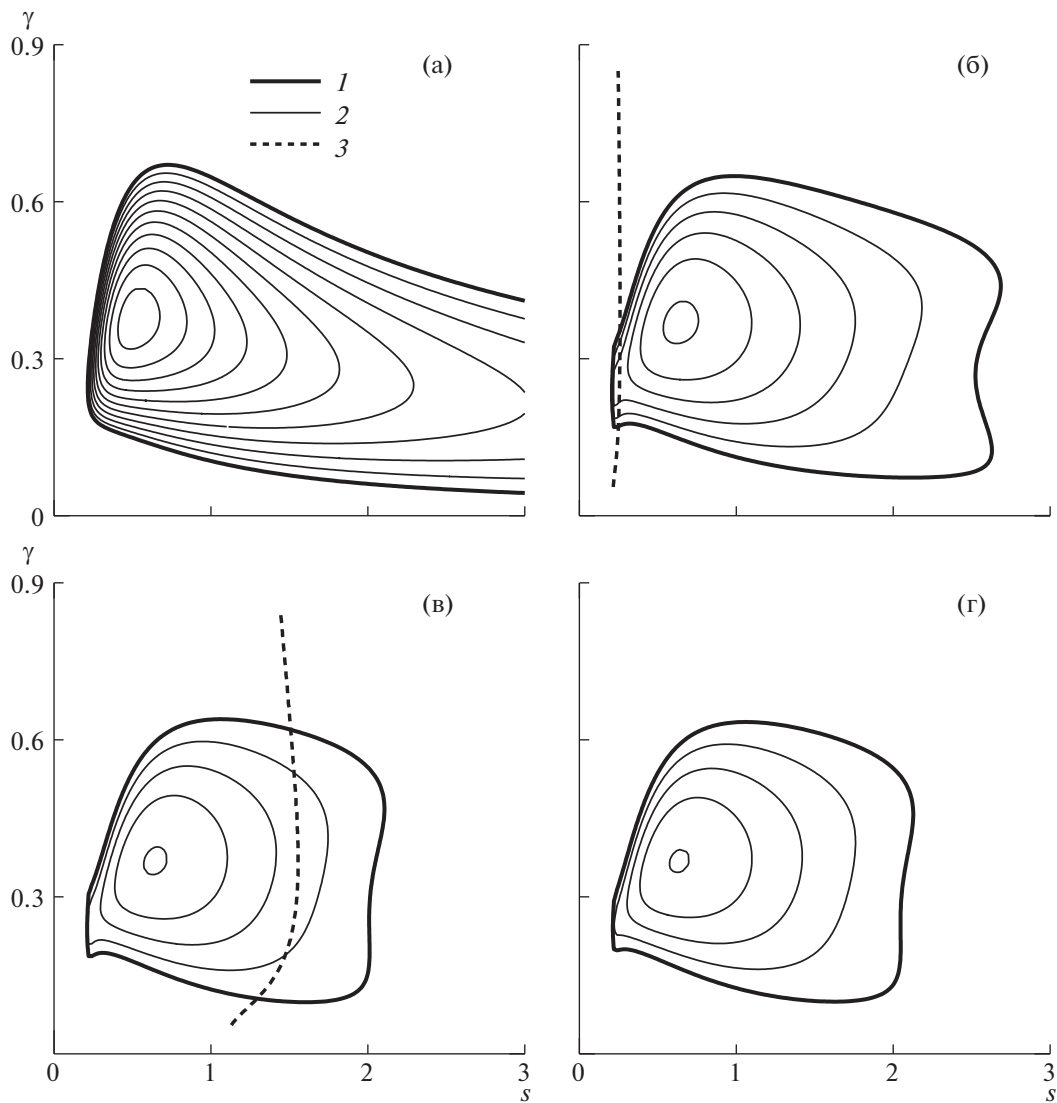


Рис. 5. Характеристики устойчивости течения: (а) – в отсутствие управления, (б, в, г) – при управлении с углами наклона актуаторов $\varphi = 30^\circ, 60^\circ, 75^\circ$; 1 – кривые нейтральной устойчивости, 2 – линии уровня инкрементов нарастания с интервалом 0.001, 3 – кривые резонансного возбуждения модуляции течения.

ношению к возмущениям вида (4.1). Максимум инкремента нарастания имеет место при $s = 0.63$, $\gamma = 0.37$ и составляет $\sigma_{\max} = 5.1 \times 10^{-3}$, т.е. скорость роста уменьшается почти в 2 раза по сравнению со случаем отсутствия воздействия.

На рис. 3в приведены результаты расчета устойчивости для случая $\varphi = 60^\circ$, когда управляющее воздействие близко к оптимальному (см. рис. 4а). Задняя граница области неустойчивости сдвигается к передней кромке крыла и расположена на расстоянии $s \approx 2.1$. Максимум инкремента $\sigma_{\max} = 4.1 \times 10^{-3}$ достигается практически в той же точке ($s = 0.64$, $\gamma = 0.37$).

5. РЕАКЦИЯ ТЕЧЕНИЯ НА ПОПЕРЕЧНУЮ МОДУЛЯЦИЮ УПРАВЛЯЮЩЕГО ВОЗДЕЙСТВИЯ

Исследуем теперь восприимчивость течения к поперечной модуляции объемного силового воздействия. Применим здесь подход, использованный в [7] для случая, когда вектор объемной силы лежит в плоскости y, z (что соответствует $\varphi = 90^\circ$). Осредненная по размаху сила порядка $O(R^{-1})$, действуя на расстояниях $s = O(1)$, формирует течение, отличающееся от невозмущен-

ного в главном приближении. В то же время колебательная компонента управляющей силы, имеющая тот же порядок, действует на расстояниях $x = O(1)$, что приводит к уменьшению ее воздействия в R раз. Это позволило в [7] рассчитывать колебательную компоненту управляемого течения в линейном приближении по малому параметру R^{-1} .

Разложим функцию (1.3) $F(\zeta)$ в ряд Фурье

$$F = \sum_{n=-\infty}^{\infty} F_n \exp(ik_n \zeta), \quad k_n = \frac{2\pi n}{\Pi}, \quad F_n = \frac{a\sqrt{\pi}}{\Pi} \exp\left[-\left(\frac{k_n a}{2}\right)^2\right]$$

и разобьем колебательную составляющую поля объемной силы на два слагаемых

$$\begin{aligned} f - f_0 &= f' + f'', \quad g = g' + g'' \\ \{f', g'\} &= \sum_{n=1}^{\infty} \{f_n, g_n\} \exp(i\alpha_n x + i\gamma_n z) + \text{c. c.}, \quad \{f'', g''\} = (f_s - 1)\{f', g'\} \\ f_n &= cF_n \exp\left(-\frac{y^2}{b^2}\right), \quad g_n = ik_n cF_n \frac{b\sqrt{\pi}}{2} \operatorname{erfc}\left(\frac{y}{b}\right) \\ \alpha_n &= -k_n \cos \varphi, \quad \gamma_n = k_n \sin \varphi \end{aligned} \quad (5.1)$$

Представим решение задачи (1.1)–(1.3) в виде

$$q = Q + \frac{1}{R}(q' + q'') \quad (5.2)$$

где q' и q'' – результаты воздействий $\{f', g'\}$ и $\{f'', g''\}$ соответственно. Следуя [7], будем рассчитывать функции q', q'' в линейном приближении и определим диапазон параметров системы управления, когда этот подход оправдан.

Функции q' описывают колебательную составляющую управляемого течения, для случая, когда однородное силовое воздействие применяется на всей поверхности крыла ($s_0 = 0$). Зададим их в форме ряда Фурье с локально медленно изменяющимися коэффициентами

$$q' = \sum_{n=1}^{\infty} q_n(y, s) \exp(i\alpha_n x + i\gamma_n z) + \text{c. c.} \quad (5.3)$$

Подобно классической теории устойчивости, коэффициенты разложения (5.3) будем рассчитывать в приближении квазипараллельного осредненного течения. В сделанных допущениях функции q_n удовлетворяют линейной системе

$$\begin{aligned} i\alpha_n u_n + \frac{dv_n}{dy} + i\gamma_n w_n &= 0 \\ (i\alpha_n U + i\gamma_n W)u_n + \frac{dU}{dy}v_n + i\alpha_n p_n - \frac{1}{R}\left(\frac{du_n^2}{dy^2} - k_n^2 u_n\right) &= -f_n \cos \varphi \\ (i\alpha_n U + i\gamma_n W)v_n + \frac{dp_n}{dy} - \frac{1}{R}\left(\frac{dv_n^2}{dy^2} - k_n^2 v_n\right) &= g_n \\ (i\alpha_n U + i\gamma_n W)w_n + \frac{dW}{dy}v_n + i\gamma_n p_n - \frac{1}{R}\left(\frac{dw_n^2}{dy^2} - k_n^2 w_n\right) &= f_n \sin \varphi \end{aligned} \quad (5.4)$$

и однородным граничным условиям

$$u_n(0) = v_n(0) = w_n(0) = 0, \quad q_n(\infty) = 0 \quad (5.5)$$

Решения краевых задач (5.4)–(5.5) строились с помощью вычисления частного решения неоднородной системы (5.4) и трех линейно независимых решений соответствующей однородной системы, при расчете которых снова использовалась процедура ортонормализации Шмидта. Для определения самих возмущений (5.3) бесконечная сумма заменялась конечной $1 \leq n \leq N$. Все расчеты производились с учетом $N = 10$ гармоник. В качестве характеристики интенсивности возмущений использовался максимум модуля возмущения скорости:

$$A'(s) = \max_{y, z} \sqrt{u'^2 + v'^2 + w'^2} \Big|_{x=0} \quad (5.6)$$

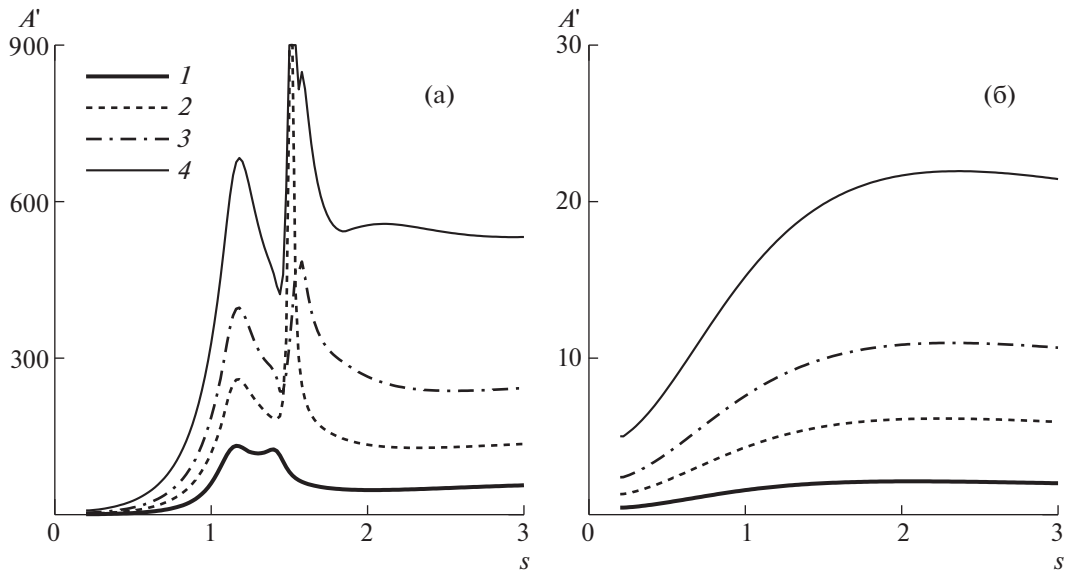


Рис. 6. Распределение интенсивности возмущений, вызванных местной модуляцией управляющего воздействия при угле наклона актуаторов $\varphi = 60^\circ, 75^\circ$ (а, б) для расстояний между актуаторами $\Pi = 6, 9, 12, 18$ (1–4).

В частном случае при той же геометрии крыла для $a = 1, b = 1, c = 0.5, \Pi = 6, R = 500, \varphi = 90^\circ, s_0 = 0$ задача управления рассматривалась в [7]. При этих условиях интенсивность (5.6) колебательной составляющей управляемого течения в промежутке $0 < s < 3$ монотонно возрастала от 0.3 до 0.7, т.е. линеаризация задачи была оправданной.

Рассмотрим класс систем управления (1.3) с фиксированными параметрами $a = 1, b = 1, s_0 = 0.2$. Интенсивность осредненного воздействия оставим прежней, полагая $s/\Pi = 1/12$. В этих условиях исследуем возможность применения линейного приближения для расчета модуляций управляемого течения при различных углах наклона актуаторов φ и различных расстояниях Π между ними. Расчеты интенсивности модуляций течения проиллюстрированы на рис. 6.

Рассмотрим сначала случай оптимального подавления поперечного течения в пограничном слое, управляемом осредненной по размаху силой ($\varphi = 60^\circ$). На рис. 6а показаны результаты расчета соответствующих распределений (5.6) для $\Pi = 6, 9, 12, 18$. Проведенные вычисления показывают, что при параметре линеаризации $R^{-1} = 2 \times 10^{-3}$ рассматриваемый здесь подход применим лишь на узком начальном участке $0.2 < s < 0.5$. Ниже по потоку вычисленная в линейном приближении колебательная компонента управляемого течения испытывает резкий рост, и линейный анализ перестает быть адекватным.

Объясним причину, по которой линейный подход, эффективный при $\varphi = 90^\circ$ [7], перестает работать при $\varphi = 60^\circ$. Обозначим ψ – угол между осью z и местным направлением линии тока внешнего течения. Оси вихрей неустойчивости поперечного течения составляют с осью z угол θ , больший ψ на несколько градусов. Периодическая система исполнительных элементов генерирует ряд вторичных вихрей, оси которых направлены вдоль актуаторов. В месте, где угол наклона актуаторов φ совпадает с соответствующим углом θ виртуальной системы вихрей неустойчивости того же периода, наблюдается резонансное усиление модуляции управляемого течения. Поясним это в рамках рассматриваемой математической модели.

На разгонном участке течения функция $\psi(s)$ монотонно возрастает; при $\varepsilon = 0.2$ она пробегает значения $0^\circ \leq \psi < 65^\circ$. Вместе с ней возрастают и углы θ_n для виртуальных систем стационарных вихрей неустойчивости с поперечными волновыми числами γ_n и соответствующими им комплексными волновыми числами $\alpha = \alpha(\gamma_n)$. Выпишем условие, эквивалентное условию $\theta_n = \varphi$ параллельности оси вихрей “электродам” актуаторов:

$$\operatorname{Re} \alpha(\gamma_n) = \alpha_n \quad (5.7)$$

Для не слишком больших φ равенство (5.7) имеет место в некотором сечении s . В окрестности области неустойчивости в силу $|\operatorname{Re} \alpha| \gg |\operatorname{Im} \alpha|$ в этом сечении выполнено $\alpha \approx \alpha_n$, оператор в левой

части системы (5.3) близок к вырожденному, и источники члены порождают отклик большой амплитуды.

Абстрагируясь от номера n гармоники в (5.3) и периода Π , которые могут принимать различные значения, перепишем равенство (5.7) в виде

$$\operatorname{Re} \alpha(\gamma) = -\gamma \operatorname{ctg} \varphi \quad (5.8)$$

На рис. 5б, в однопараметрические множества точек (s, γ) , где выполнено условие (5.8), показаны линиями 3. С увеличением угла наклона актуаторов эта линия удаляется от передней кромки крыла.

Вернемся к рассмотрению случая $\varphi = 60^\circ$. При $\Pi = 6$ поперечное волновое число первой гармоники $\gamma_1 = 0.91$ существенно больше волновых чисел γ , характерных для области неустойчивости (см. рис. 5в), величины $\operatorname{Im} \alpha(\gamma_1)$ сравнительно велики, поэтому даже при выполнении равенства (5.7) амплитуда модуляции управляемого течения (5.6) принимает умеренное значение (рис. 6а, линия 1).

Увеличим теперь расстояние между актуаторами в полтора раза: $\Pi = 9$. В этом случае линия $\gamma_1 = 0.60$ проходит вблизи точки $s_R = 1.51$, $\gamma_R = 0.62$ — одной из двух точек точного резонанса, где наряду с условием (5.8) выполнено $\operatorname{Im} \alpha(\gamma) = 0$. Соответствующее распределение $A'(s)$ имеет вблизи точки $s = s_R$ резкий пик (рис. 6а, линия 2).

При $\Pi = 12$ линия $\gamma_1 = 0.45$ проходит через центральную часть области неустойчивости, где инкременты нарастания максимальны, поэтому распределение (5.6) (линия 3) не имеет точек резкого усиления, хотя его амплитуда существенно выше, чем в случае $\Pi = 6$. При $\Pi = 18$ распределение вновь имеет резкий максимум вблизи $s = s_R$, обусловленный резонансным усилением второй гармоники ($\gamma_2 = 0.60$) в разложении (5.3) (линия 4).

Заметим, что область корректного применения линейного подхода может быть увеличена путем уменьшения интенсивности управляющего воздействия, но при этом увеличится интенсивность поперечного течения и возрастет его неустойчивость. Тем не менее даже в случае $c \ll 1$ линейный анализ неприменим в окрестностях точек точного резонанса — точек пересечения нейтральной кривой с линией (5.8).

Все описанные особенности линейного подхода к расчету модуляций управляемого течения сохраняются и при $\varphi < 60^\circ$, в частности — при $\varphi = 30^\circ$ (рис. 5б). Для корректного описания модуляций необходимо производить расчеты в нелинейной постановке, что выходит за рамки данного исследования. В любом случае, наличие описанного резонанса приведет к тому, что амплитуда модуляций течения, управляемого периодической последовательностью актуаторов, станет сравнимой с интенсивностью осредненного течения. Это может привести к появлению новых типов неустойчивости.

Проведенные в [7] расчеты подсказывают, что описанных выше нежелательных эффектов можно избежать, увеличив угол наклона актуаторов. При его возрастании в диапазоне $\varphi > 60^\circ$ кривая, определяемая равенством (5.8), быстро удаляется вниз по потоку от области неустойчивости, устраняя резонанс. Для иллюстрации рассмотрим случай $\varphi = 75^\circ$. По сравнению с управлением системой оптимальной конфигурации это приводит к незначительному увеличению интенсивности поперечного течения (рис. 4а), причем усиление (на 2%) приходится на передний участок управления, где скорость поперечного течения максимальна. Ниже по течению эта скорость практически не меняется (рис. 2, рис. 3в). Характеристики устойчивости также меняются незначительно — область неустойчивости становится чуть длиннее, но уже (рис. 5г). При этом интенсивность колебательной составляющей управляемого течения меняется кардинально — она снижается на 2 порядка (рис. 6б). Как и в [7], в этом случае применение линейного подхода к расчету модуляций течения является оправданным.

Обратите внимание на то, что в окрестности задней границы области неустойчивости в результате продолжительного тормозящего воздействия вдоль хорды крыла у профиля V_{cf} сначала появляется вторая точка перегиба, а затем формируется обратное течение $V_{cf} < 0$ (рис. 3в). Чтобы это не привело к появлению неустойчивости нового типа, управляющее воздействие целесообразно завершить, как только течение стабилизируется (при $s > s_1 \approx 2$).

В [4] было впервые экспериментально продемонстрировано затягивание ламинарно-турбулентного перехода, вызванного неустойчивостью поперечного течения, с помощью единичного плазменного актуатора, расположенного параллельно передней кромке скользящего крыла (что соответствует $\varphi = 0^\circ$). Силовое воздействие, направленное к передней кромке крыла, уменьшало наполненность разгонного профиля скорости и увеличивало длину ламинарного участка тече-

ния на несколько процентов хорды. Установление ряда аналогичных актуаторов вниз по потоку могло бы привести, наряду с ослаблением поперечного течения, к усилению неустойчивости Толлмина–Шлихтинга и даже к отрыву потока.

В этой связи в [4] предполагалось в дальнейшем испытать периодическую вдоль размаха крыла систему искривленных актуаторов, направленных вдоль внешней линии тока. Анализ, проведенный в данной работе, показывает, что это может привести к резонансному усилению поперечной модуляции управляемого течения.

6. ВЛИЯНИЕ НАЧАЛЬНОГО УЧАСТКА СИСТЕМЫ УПРАВЛЕНИЯ

Если электроды исполнительных элементов перпендикулярны передней кромке крыла [3, 7], силовое воздействие может быть организовано от самой линии растекания ($s_0 = 0$). Цель рассматриваемого способа управления – снижение неустойчивости поперечного течения. В силу этого применять силовое воздействие имеет смысл только в области, где пограничный слой теряет устойчивость. Именно поэтому в данной работе все расчеты производились для $s_0 = 0.2$. В связи с этим необходимо изучить эволюцию возмущений, вносимых в течение передним фронтом системы управления. В рассматриваемой здесь линейной постановке эти возмущения представлены слагаемым q'' в (5.2).

Поместим начало системы координат в точку $s = s_0$. В этой системе функции f'' , g'' (5.1) как функции x имеют синусоидальную форму выше по течению и стремятся к 0 вниз по течению. В окрестности $x = 0$ объемные воздействия, описываемые этими функциями, создают продольную неоднородность, периодическую вдоль размаха крыла. Подобно случаю неровности обтекаемой поверхности [12, 13], эта неоднородность приводит к генерации стационарной системы вихрей неустойчивости поперечного течения. Опишем процесс генерации, используя подход [13].

Представим компоненты f'' , g'' колебательной составляющей силового воздействия (5.1) в виде интегралов Фурье

$$\{f'', g''\} = (2\pi)^{-1} \left[\sum_{n=1}^{\infty} \int_{-\infty}^{+\infty} \frac{f^*(k)}{i(k - \alpha_n)} \{f_n, g_n\} \exp(ikx + i\gamma_n z) dk + \text{с.с.} \right]$$

где интегралы берутся по контурам, обходящим полюсы $k = \alpha_n$ сверху. Если сглаживающая функция f_s задана равенством (1.3), то

$$f^*(k) = \frac{1}{2} \int_{-\infty}^{+\infty} (1 - \text{th}^2 x) \exp[-i(k - \alpha_n)lx] dx \quad (6.1)$$

Расчет соответствующих параметров колебательной компоненты управляемого течения будем производить по следующей схеме. Анализ возмущений в ближнем поле $|x| = O(1)$ выполним в предположении плоскопараллельного основного течения, параметры которого вычислены в точке $s = s_0$. Дальнейшее развитие системы возбуждаемых вихрей неустойчивости будем описывать в рамках закона эволюции возмущений в слабо неоднородных течениях [15].

В силу $x/s_0 = O(R) \gg 1$ в математической постановке задачи расчета ближнего поля будем считать $-\infty < x < +\infty$. В рамках рассматриваемой модели возмущения, порождаемые начальным участком системы управления, имеют вид

$$q'' = (2\pi)^{-1} \left[\sum_{n=1}^{\infty} \int_{-\infty}^{+\infty} \frac{f^*(k)}{i(k - \alpha_n)} q_n(y; k) \exp(ikx + i\gamma_n z) dk + \text{с.с.} \right] \quad (6.2)$$

где коэффициенты Фурье q_n удовлетворяют системе (5.4), в которой в левой части произведены замены действительного α_n на комплексное k (соответственно, $k_n^2 = k^2 + \gamma_n^2$), а правые части оставлены без изменений. Контур интегрирования в (6.2) охватывает снизу все полюсы $k = \alpha(\gamma_n)$, соответствующие моде неустойчивости поперечного течения, а полюсы $k = \alpha_n$ обходятся сверху.

Применяя теорему Коши о вычетах в области $x < 0$, получим, что при $x \rightarrow -\infty$ решение q'' стремится к решению q' , взятому со знаком минус, т.е. суммарное возмущение стремится к 0. При $x > 0$ теорема о вычетах дает начальные амплитуды систем вихрей неустойчивости поперечного

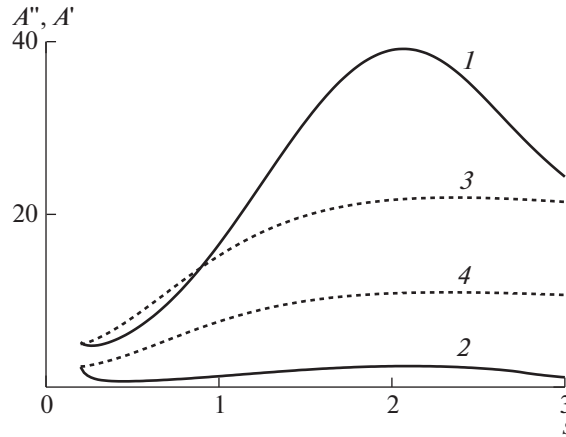


Рис. 7. Распределения амплитуд возмущений, генерируемых начальным участком системы управления (1, 2) в сравнении амплитудами возмущений, порождаемых локальной модуляцией управляющего воздействия (3, 4) при угле наклона актуаторов $\varphi = 75^\circ$; (1, 3) – $\Pi = 18$, (2, 4) – $\Pi = 12$.

течения, генерируемых передней частью системы управления и распространяющихся вниз по потоку:

$$q_{cf} = \sum_n \frac{f^*[\alpha(\gamma_n)]}{\alpha(\gamma_n) - \alpha_n} \operatorname{res}_{k=\alpha(\gamma_n)} q_n(y; k) \exp[i\alpha(\gamma_n)x + i\gamma_n z] + \text{c. c.}, \quad x = O(1) \quad (6.3)$$

В формуле (6.3) суммирование ведется по номерам гармоник γ_n , для которых существует мода неустойчивости поперечного течения.

Опишем факторы, приводящие к увеличению амплитуды возмущений q'' в широкой области $s \geq s_0$. Во-первых, уже начальная амплитуда q'' велика, если в точке $s = s_0$ для одной из гармоник выполнено $\alpha(\gamma_n) \approx \alpha_n$. Это имеет место, например, при $\varphi = 30^\circ$, $\Pi = 10$ ($\gamma_1 = 0.31$), когда линия (5.8) проходит вблизи сечения $s = s_0 = 0.2$ (рис. 5б). Как и в случае возмущений типа q' , такая возможность может быть исключена выбором достаточно большого угла наклона актуаторов.

Во-вторых, возмущения q'' могут усиливаться благодаря нарастанию вихрей неустойчивости (6.3) вниз по потоку. Это происходит, когда одна или несколько гармоник находятся в диапазоне $0.1 < \gamma_n < 0.6$. При наиболее благоприятной конфигурации системы управления линия $\gamma = \gamma_1 = 2\pi \sin \varphi / \Pi$ расположена выше области неустойчивости, достижению чего способствуют увеличение угла наклона актуаторов и уменьшение расстояния между ними. Последнее трудно обеспечить на практике, поскольку толщина пограничного слоя мала.

Предположим теперь, что усилению подвержена лишь первая гармоника $\gamma = \gamma_1$, и преобразуем формулу (6.3) к виду, аналогичному (4.1)

$$q_{cf} \approx h q^*(y; s_0) \exp(i\alpha x + i\gamma z) + \text{c. c.}, \quad h = \frac{f^*(\alpha)}{\alpha - \alpha_1} \operatorname{res}_{k=\alpha} \frac{du_1}{dy}(0; k), \quad \alpha = \alpha(s_0, \gamma) \quad (6.4)$$

Здесь собственная функция q^* нормирована условием $du^*/dy = 1$ при $y = 0$. Формула (6.4) позволяет вычислить начальную амплитуду возмущения q'' , определяемую аналогично (5.6)

$$A''(s_0) = \max_{y,z} \sqrt{u_{cf}^2 + v_{cf}^2 + w_{cf}^2} \Big|_{x=0}$$

Вниз по потоку от места возникновения амплитуду возмущения можно оценить с помощью приближенной формулы [15]

$$A''(s) = A''(s_0) \exp \left[\operatorname{R} \int_{s_0}^s \sigma(s', \gamma) ds' \right]$$

На рис. 7 приведен сравнительный анализ возмущений A'' и A' , формируемых влиянием переднего края системы управления и местным воздействием поперечной модуляции силового поля. Расчеты произведены для конфигурации системы управления из разд. 5 с углами наклона актуаторов $\varphi = 75^\circ$. При $\Pi = 18$ линия $\gamma_1 = 0.34$ проходит через среднюю часть области неустойчивости (см. рис. 5г). Вследствие этого амплитуда максимума кривой нарастания (линия 1) почти

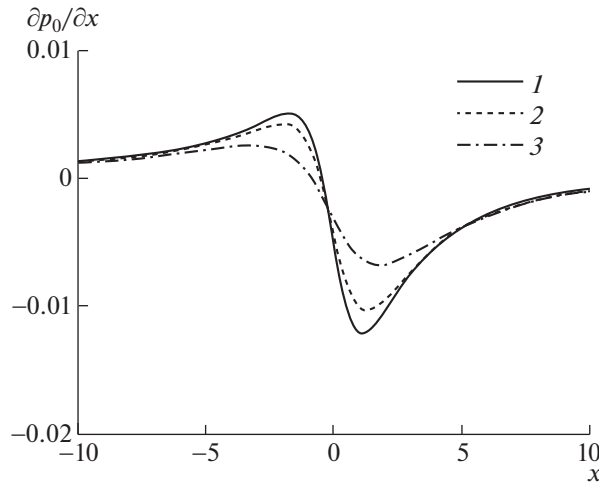


Рис. 8. Распределение продольного градиента давления, индуцируемого начальным участком системы управления, при $y = 0, 1, 2$ (1–3).

в 2 раза превышает амплитуду возмущения, порождаемого местной модуляцией поля силы (линия 3). При $\Pi = 12$ линия $\gamma_1 = 0.51$ пересекает лишь верхнюю часть области неустойчивости, и кривая нарастания $A''(s)$ проходит ниже соответствующей кривой $A'(s)$ (линии 2, 4). При $\Pi = 9$ амплитуда A'' в сравнении с A' становится исчезающе малой.

Проведем теперь более тщательный анализ течений, управляемых осредненной по размаху силой. В разд. 3 расчет таких течений производился в рамках системы уравнений пограничного слоя. Строго говоря, эта модель перестает работать в окрестности точки $s = s_0$, где силовое воздействие изменяется на масштабе $\Delta x = O(1)$, что соответствует $\Delta s \ll 1$. Поскольку силовое воздействие на этом масштабе мало, корректный расчет осредненного течения в окрестности этой точки снова произведем в линейном приближении по параметру R^{-1} .

Представим искомое решение системы (1.1) в виде

$$q = Q(s_0, y) + \frac{1}{R} q_0(x, y)$$

где первое слагаемое соответствует параметрам пограничного слоя в отсутствие воздействия. Второе слагаемое вновь будем искать в форме интеграла Фурье

$$q_0 = (2\pi)^{-1} \int_{-\infty}^{+\infty} \frac{f^*(k)}{ik} q_k(y) \exp(ikx) dk \quad (6.5)$$

где функция f^* определяется формулой (6.1) при $n = 0$. Подстановка (6.5) в систему (1.1), линеаризация ее по параметру R^{-1} и использование плоскопараллельного приближения приводят к системе для фурье-образов, аналогичной (5.4), в которой произведены замены $q_n \rightarrow q_k$, $\alpha_n \rightarrow k$, $k_n \rightarrow k$, а величины γ_n и правые части системы вычислены с помощью формул (5.1) при $n = 0$.

На рис. 8 приведены результаты расчета продольного градиента давления, индуцируемого начальным участком осредненного силового воздействия. Согласно [16], на масштабе своего изменения объемная сила индуцирует градиент давления, значительно демпфирующий силовое воздействие. Проведенные расчеты показывают, что амплитуда индуцируемого градиента давления максимальна там, где силовое воздействие максимально (т.е. при $y = 0$), и быстро затухает при удалении от стенки.

Если актуатор установлен в изначально покоящейся газе, то интегральное действие индуцированного градиента давления отсутствует [16]. В рассматриваемом случае система управления воздействует на уже имеющееся течение, тем не менее и здесь тормозящий эффект градиента на начальном участке воздействия при $x < 0$, где $\partial p_0 / \partial x > 0$, компенсируется дополнительным разгоном течения при $x > 0$.

Заметим, что внешний градиент давления dp_e/ds и индуцируемый объемной силой градиент $R^{-1} \partial p_0 / \partial x$ в силу $dx/ds = R$ имеют одинаковый порядок по числу R . Тем не менее величина первого из них в окрестности точки $s_0 = 0.2$ принимает значения, близкие -0.2 , в то время как вто-

рого – на порядок меньше (в диапазоне от -0.01 до 0.005). Поскольку наведенный градиент давления действует на очень коротком промежутке и является знакопеременным, то он не приводит к заметному искажению осредненного течения.

ЗАКЛЮЧЕНИЕ

На примере течения в пограничном слое на скользящем крыле эллиптического сечения теоретически исследован процесс подавления поперечного течения с помощью объемной силы, моделирующей воздействие периодической последовательности плазменных актуаторов. Изучена эффективность системы управления в зависимости от угла наклона актуаторов. Рассчитаны характеристики устойчивости течения, управляемого осредненной по размаху силой. Колебательная составляющая управляемого течения исследована в рамках линейного приближения по обратному числу Рейнольдса.

Показано, что направленность актуаторов вдоль местной внешней линии тока, являющаяся оптимальной в случае однородного воздействия, не является таковой в случае воздействия, периодического по размаху крыла. Это связано с наличием резонанса – высокой восприимчивостью течения к колебательной составляющей силового воздействия при условии близости направления актуаторов направлению внешней линии тока. Определены факторы, вызывающие повышенную восприимчивость течения к воздействию начального участка системы управления.

Предложен ряд мер, позволяющих избежать указанных негативных проявлений модуляции управляющего воздействия. Угол наклона актуаторов к передней кромке крыла должен быть больше угла наклона внешней линии тока на всем протяжении области силового воздействия. Актуаторы следует размещать с периодом, меньшим минимального периода моды неустойчивости поперечного течения. Протяженность области силового воздействия должна ограничиваться размером области неустойчивости управляемого течения.

Автор признателен А.П. Курячему за плодотворное обсуждение исследуемых явлений.

СПИСОК ЛИТЕРАТУРЫ

1. Шлихтинг Г. Теория пограничного слоя. М.: Наука, 1974. 711 с.
2. Moreau E. Airflow control by non-thermal plasma actuators // J. Phys. D: Appl. Phys. 2007. V. 40. P. 605–636.
3. Курячий А.П. Управление поперечным течением в трехмерном пограничном слое с помощью объемного пространственно-периодического силового воздействия // Изв. РАН. МЖГ. 2009. № 2. С. 71–79.
4. Мануйлович С.В. Объемные воздействия, устраняющие поперечное течение в ламинарном пограничном слое // Изв. РАН. МЖГ. 2015. № 3. С. 87–98.
5. Yadala S., et al. Experimental control of swept-wing transition through base-flow modification by plasma actuators // J. Fluid Mech. 2018. V. 844. 11 p.
6. Мануйлович С.В. Оптимальное распределение объемной силы, подавляющей поперечное течение в ламинарном пограничном слое // Докл. РАН. 2014. Т. 458. № 6. С. 660–662.
7. Мануйлович С.В. Управление поперечным течением в пограничном слое на скользящем крыле с помощью пристеночной объемной силы // Изв. РАН. МЖГ. 2020. № 1. С. 45–56.
8. Баранов С.А., Гапируллин М.Д., Киселев А.Ф., Курячий А.П., Сбоев Д.С., Толкачев С.Н., Чернышев С.Л. Ослабление неустойчивости поперечного течения в трехмерном пограничном слое с помощью много-разрядной актуаторной системы // Докл. РАН. 2019. Т. 488. № 2. С. 147–152.
9. Справочник по специальным функциям с формулами, графиками и математическими таблицами / Под ред. М. Абрамовица и И. Стигана. М.: Наука, 1979. 832 с.
10. Kriegseis J., Schwarz C., Tropea C., Grundmann S. Velocity-information-based force-term estimation of dielectric-barrier discharge plasma actuators // J. Phys. D: Appl. Phys. 2013. V. 46. 055202. 13 p.
11. Курячий А.П., Мануйлович С.В., Русьянов Д.А. Аппроксимация распределений объемной силы, создаваемой плазменным актуатором // Уч. зап. ЦАГИ. 2016. Т. 47. № 5. С. 29–41.
12. Федоров А.В. Возбуждение волн неустойчивости вторичного течения в пограничном слое на скользящем крыле // ПМТФ. 1988. № 5. С. 46–52.
13. Мануйлович С.В. О возмущениях пространственного пограничного слоя, вызванных неровностями обтекаемого тела // Изв. РАН. МЖГ. 1989. № 5. С. 129–134.
14. Годунов С.К. О численном решении краевых задач для систем линейных обыкновенных дифференциальных уравнений // Успехи мат. наук. 1961. Т. 16. Вып. 3. С. 171–174.
15. Smith A.M.O., Gamberoni N. Transition, pressure gradient and stability theory // Douglas Aircraft Co. Rept. ES 26388, 1956, El Segundo, California.
16. Мануйлович С.В. Роль градиента давления в течениях, управляемых пристеночной объемной силой // Изв. РАН. МЖГ. 2016. № 4. С. 49–58.